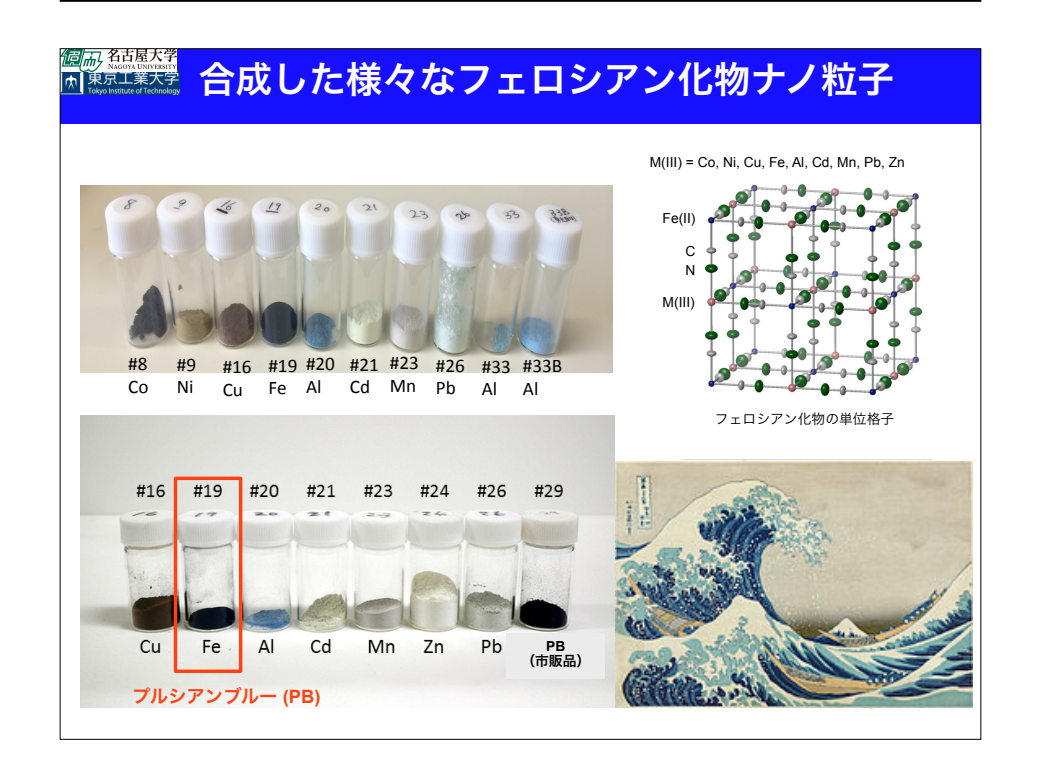
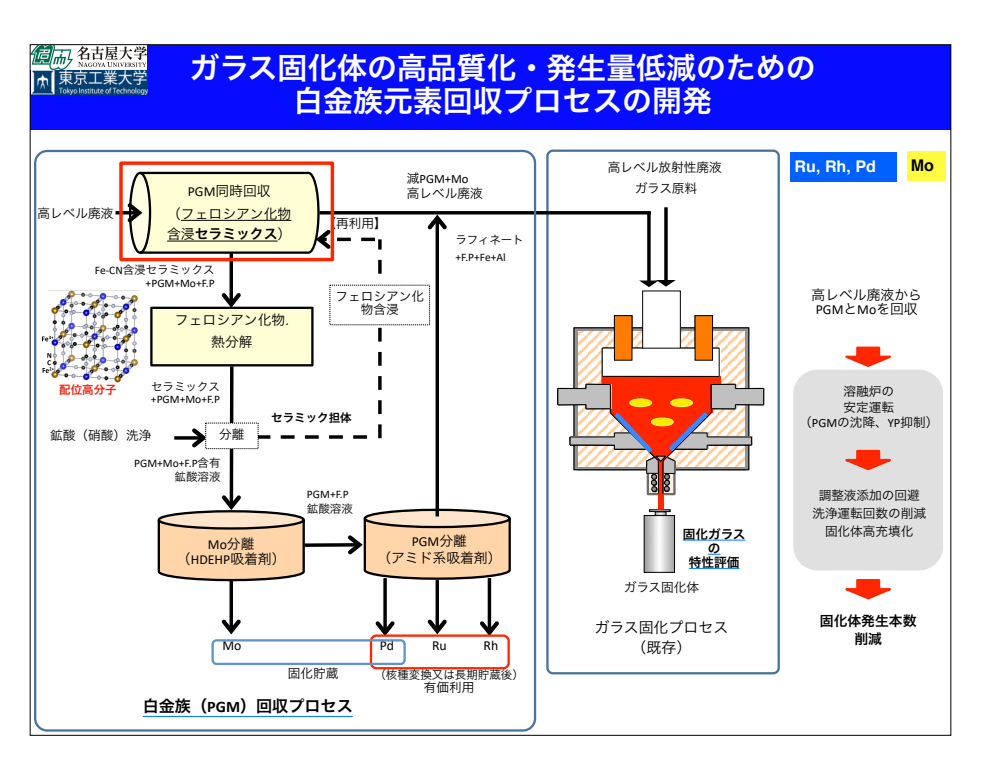
成果報告会(2021年3月1日)

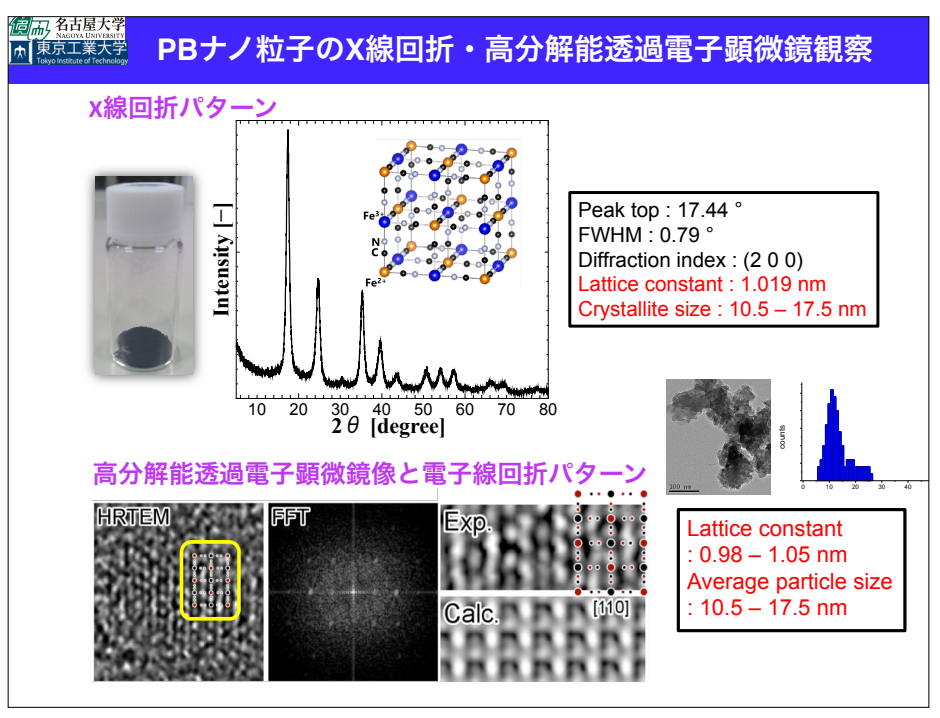
平成29年度 英知を結集した原子力科学技術・人材育成推進事業 戦略的原子力共同研究プログラム テーマ 1 原子力利用に係る安全性向上のための基礎基盤研究 「高レベル放射性廃液ガラス固化体の高品質・減容化のための白金族元素高収着能を 有するシアノ基架橋型配位高分子材料の開発」H29-H31年度

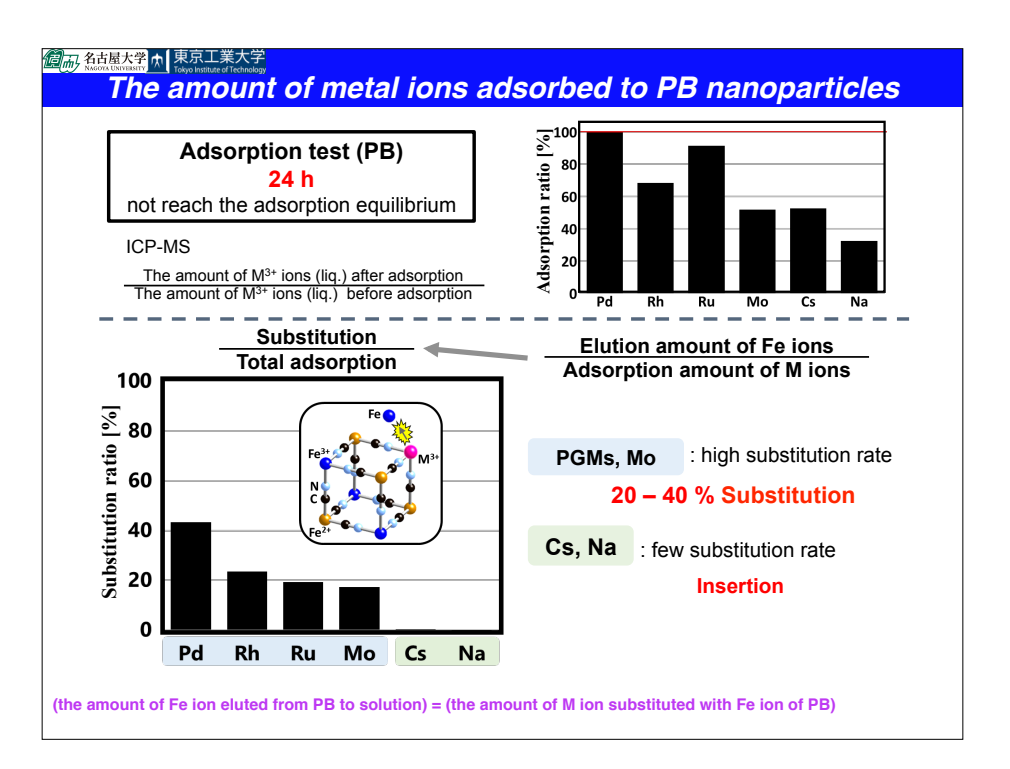
高レベル放射性廃液ガラス固化体の高品質・ 減容化のための白金族元素高収着能を有する シアノ基架橋型配位高分子材料の開発 (2017 – 2019年度)

研究代表者 尾上 順(名古屋大学) 研究分担者 竹下健二(東京工業大学)









本研究プロジェクトの目的

原子力システム(H26-H28)

【得られた主な成果】

- (1)種々のシアノ基架橋型配位高分子ナノ粒子を合成し、模擬HLLWに対する収着試験を行ったところ、AI-CN-FeがMo・白金族元素に対する収着性能・選択性が最も高く、Mo・白金族元素の同時回収に適していることを見出した。
- (2) Ru, Rh, PdおよびMoイオンはFe²⁺または Al³⁺との置換型収着、Csイオンは内包型収着で あることを明らかにした。
- (3)実高レベル廃液の収着試験の結果、模擬 廃液と同様に、PGMs/Moに対して高い収着性 能を有するだけでなく、長寿命核種Amを収着 しない選択性も有することを示した。

【残された課題】

- (1) 合成したAI-CN-FeにPBが混じった状態であることもわかり、白金族元素やMoに対するAI-CN-Feの真の収着性能はもっと高いことが予想される。
- (2)個々の金属イオンの収着率の差や種々の配位高分子材料の収着性能の差は何で決まるのか?

本プロジェクト(H29-H31)

【課題解決】

- (1) 高純度AI-CN-Feの合成による真の収 着性能の評価。
- (2)個々の金属イオンの収着率の差や種々 の収着性能の差を支配する物理的因子の解明

物理因子一収着率相関マップ

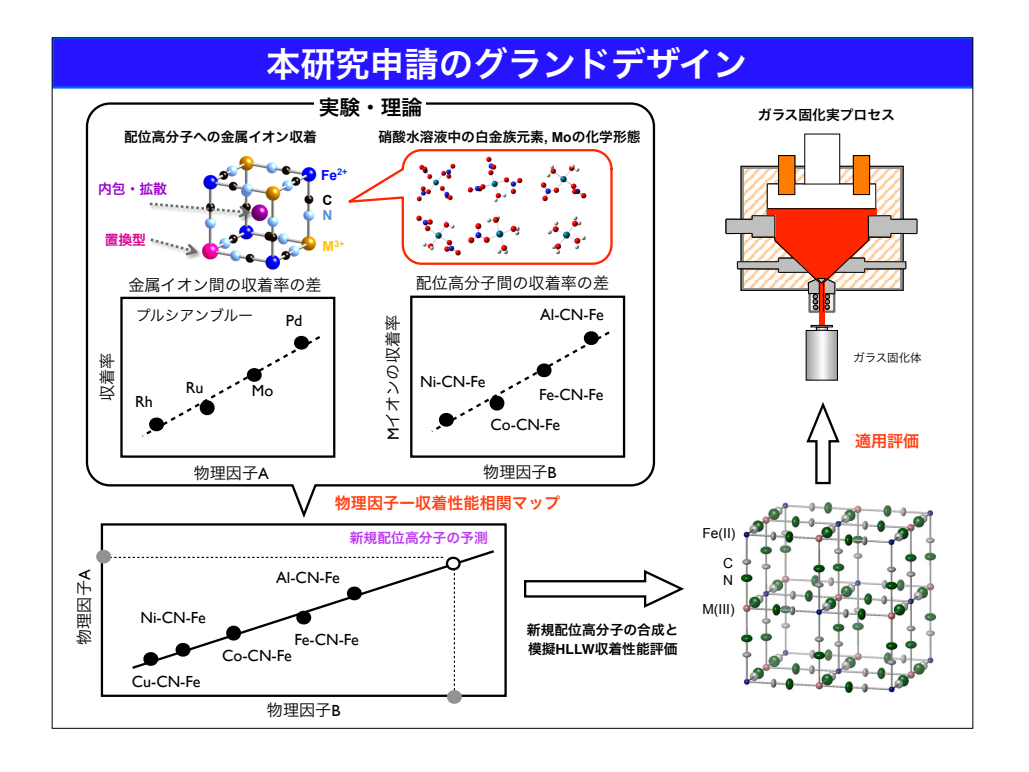
高い収着性能を有する新規配位 高分子材料の設計・創製

実プロセス適用評価

実プロセス適用に向けた新たな提案 (H32)

启 点 名古屋大学 これまでの研究成果の概要 東京工業大学 原子力システム研究開発 (H26 - H28) (1)種々のシアノ基架橋型配位高分子ナノ粒子を合成し、模擬HLLWに対する収着試験を行ったところ、AI-CN-Feが <mark>Mo・白金族元素に対する収着性能・選択性が最も高く</mark>, Mo・白金族元素の同時回収に適していることを見出した。 (2) Ru, Rh, PdおよびMoイオンはFe²⁺またはAI³⁺との置換型収着, Csイオンは内包型収着であることを明らかにし (3) 実高レベル廃液の収着試験の結果、模擬廃液と同様に、PGMs/Moに対して高い収着性能を有するだけでなく、 長寿命核種Amを収着しない選択性も有することを示した。 (4) ガラス固化体のプロセス評価を行った結果、現行プロセスで発生するガラス固化体の本数を3分の1程度まで減ら せることを示した。 特徴 [AI3+/Fe3+]-CN-F Cs, Na PGMs Mo Substitution Insertion 図 3.2-26 白金族元素・Mo 同時回収システムの物質収3 冬核錯仏を形成

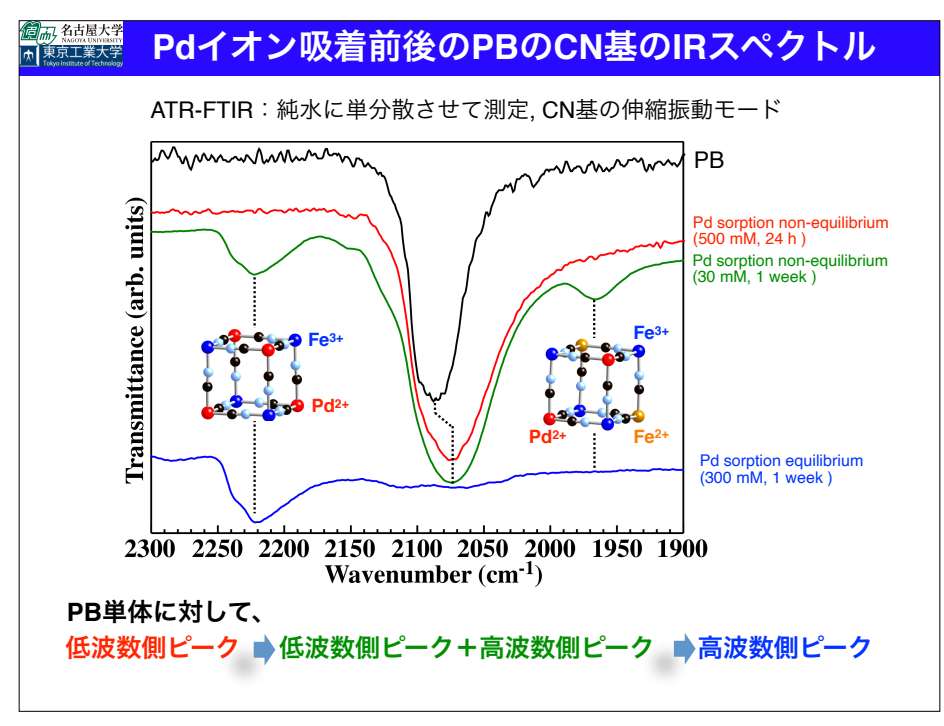
Chem. Phys. Lett. 723, 76-81 (2019); AIP Adv. 8, 045221 (2018); J. Appl. Phys. 119, 235102 (2016)



	H29	H30	H31
実験・理論による収 着能を支解明と高い収 着能を有する配位高 分子材料の設計 ののでは、NAGOYA UNIVERSITY	PB収着率 物理因子抽出 《	種々の配位高分子の収着率物理因子抽出と収着率一物理因子相関マップ作成 ・・・・・・・・・・・・・・・・・・・・・・・・・・・・・・・・・・・	新規配位高分子の設計と提案 収着機構の検証
高い収着能を有する配位高分子材料の合成と模擬廃液収着性能試験およびプロセス適用評価	配位高分子 の合成 ・ 合成した配 能・溶出評値	合成技術の高度化と合成条件の最適化 ・・・・・・・・・・・・・・・・・・・・・・・・・・・・・・・・・・・・	新規配位分子の合成 新規配位分子の模擬HLLW収着性能・溶出評価 ・ ・ ・ ・ ・ ・ ・ ・ ・ ・ ・ ・ ・ ・ ・ ・ ・ ・

	H29	H30	H31
実験・理論による収 着能を支配する物理 因子の解明と高い収 着能を有する配位高 分子材料の設計	PB収着率 物理因子抽出 ◆ → → 配位高分子 構造評価 電子状態評価	種々の配位高分子の収着率物理因子抽出と収着率一物理因子抽関マップ作成 ・ ・ ・ ・ ・ ・ ・ ・ ・ ・ ・ ・ ・ ・ ・ ・ ・ ・	新規配位高分子の設計と提案 収着機構の検証 まとも
高い収着能を有する配位高分子材料の合成と模擬廃液収着性能試験およびプロセス適用評価 東京工業大学	配位高分子の合成・・・・・・・・・・・・・・・・・・・・・・・・・・・・・・・・・・・・	合成技術の高度化と合成条件の最適化 ・・・・・・・・・・・・・・・・・・・・・・・・・・・・・・・・・・・・	新規配位分子の合成 新規配位分子の 横擬HLLW収着性 能・溶出評価 ・ ・ ・ ・ ・ ・ ・ ・ ・ ・ ・ ・ ・





実験・理論による収着能を支配する物理因子の解明と高い収着能を 有する配位高分子材料の設計 CdHCF MnHCF

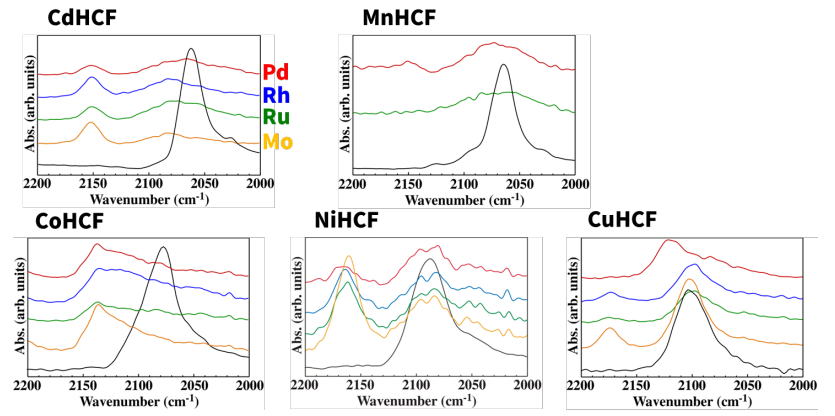
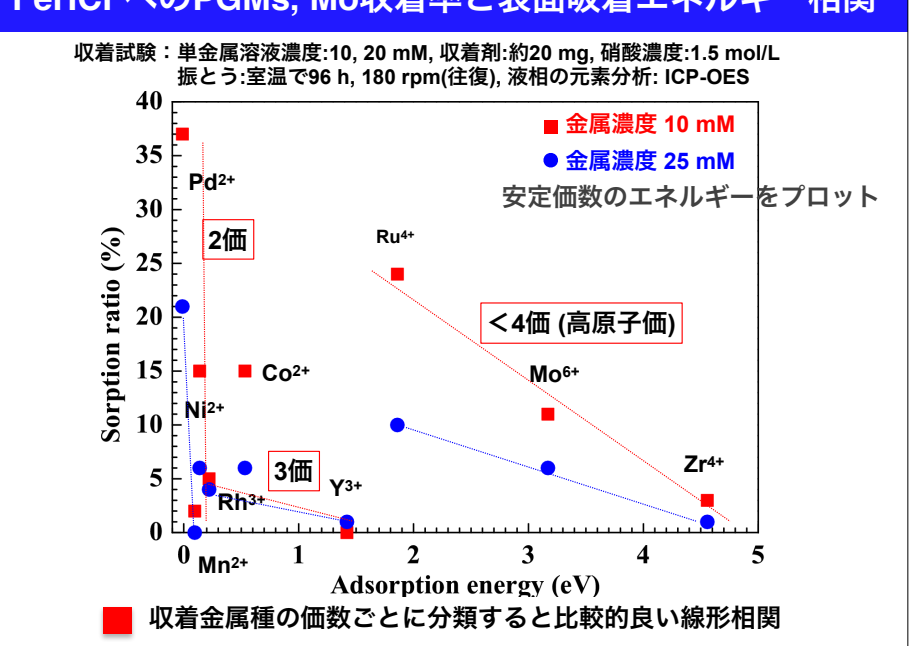
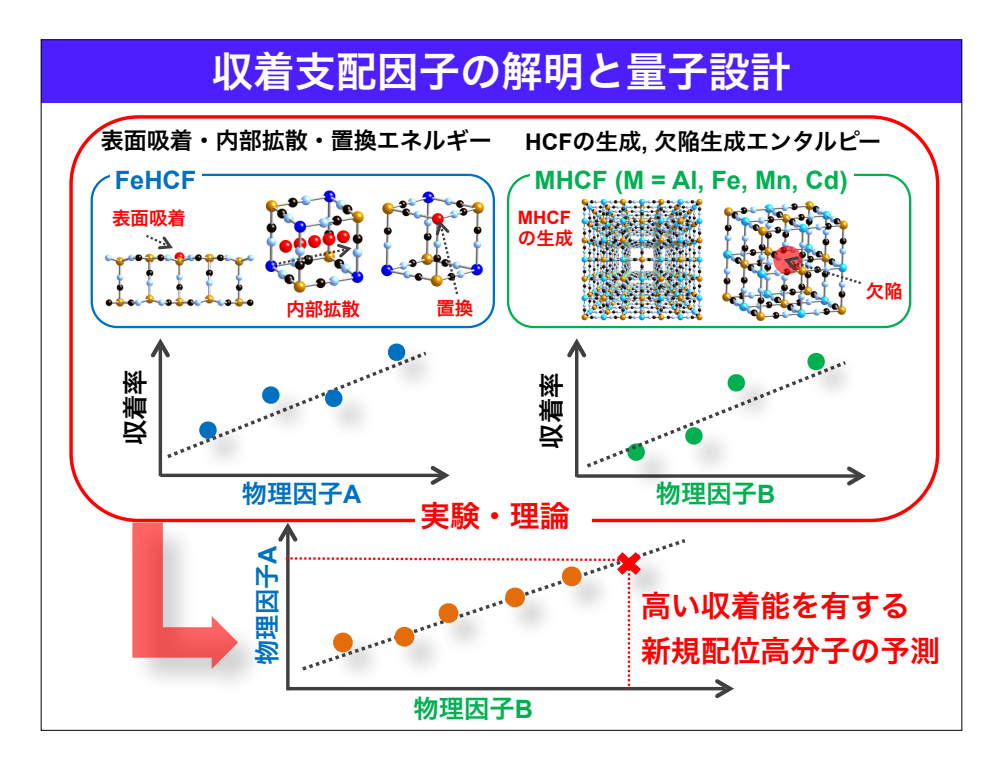


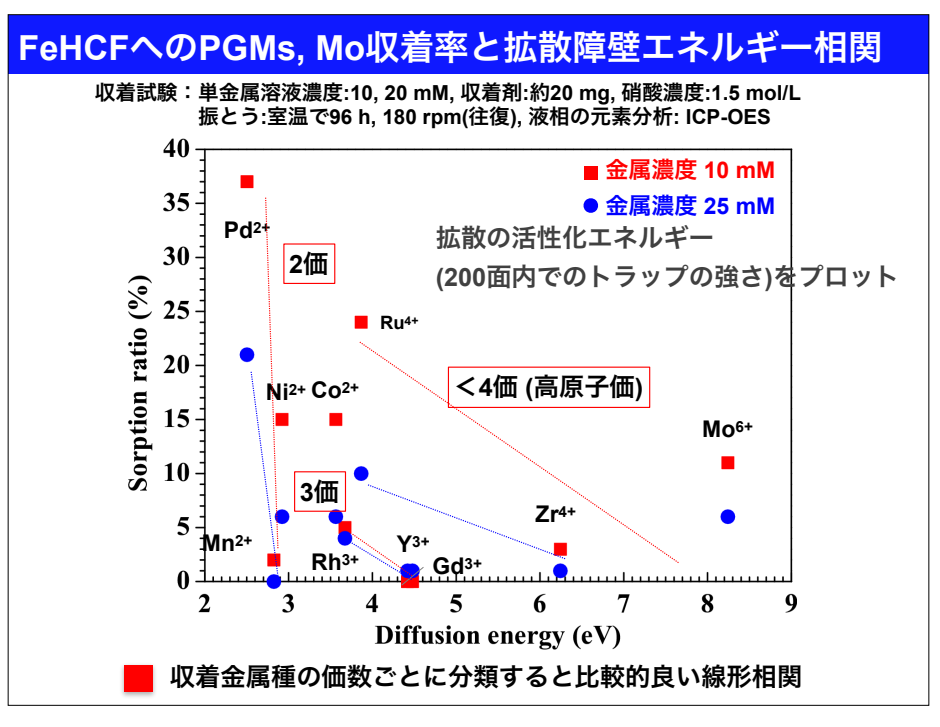
図 3.1-65 単一金属 (PGMs, Mo) を収着した Cd, Mn, Co, Ni, CuHCF の IR スペクトル 黒線は収着前の Cd, Mn, Co, Ni, CuHCF の IR スペクトル

収着後、CN基の振動モード:高波数シフト → PB・AI-CN-Feと同じ (置換型)

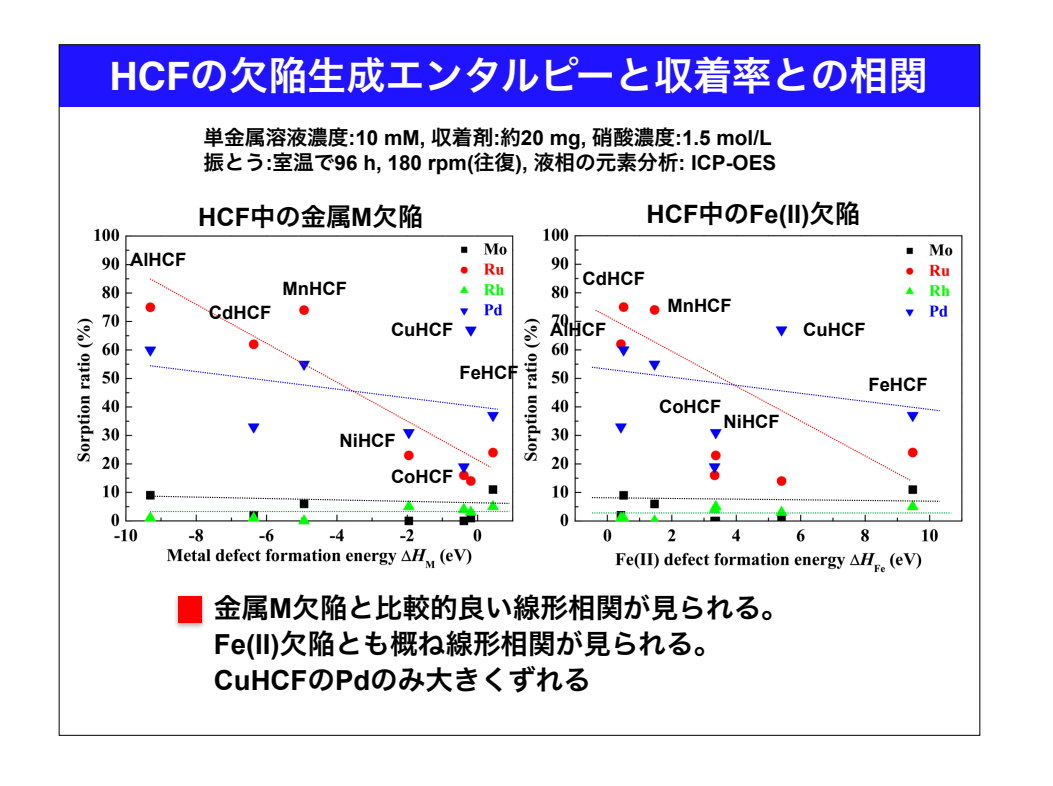
FeHCFへのPGMs, Mo収着率と表面吸着エネルギー相関

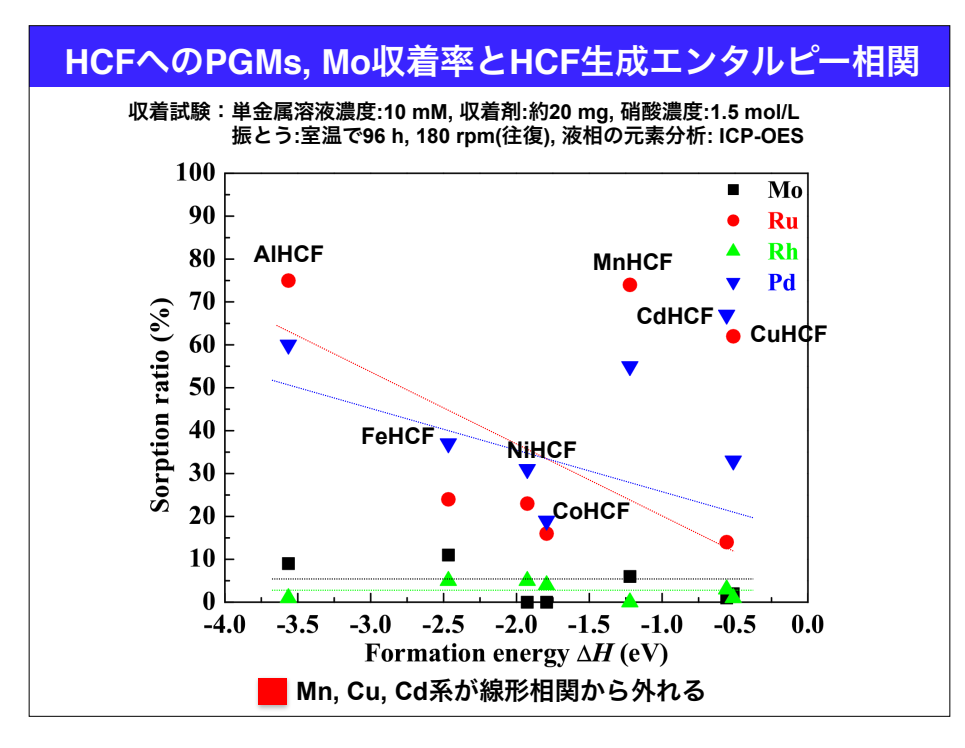


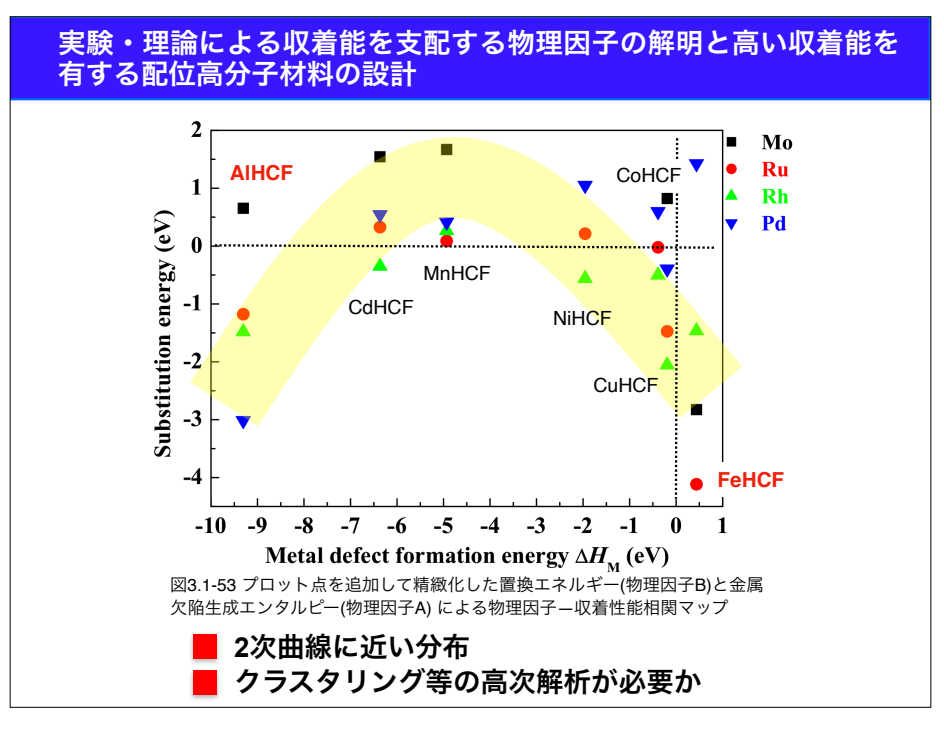


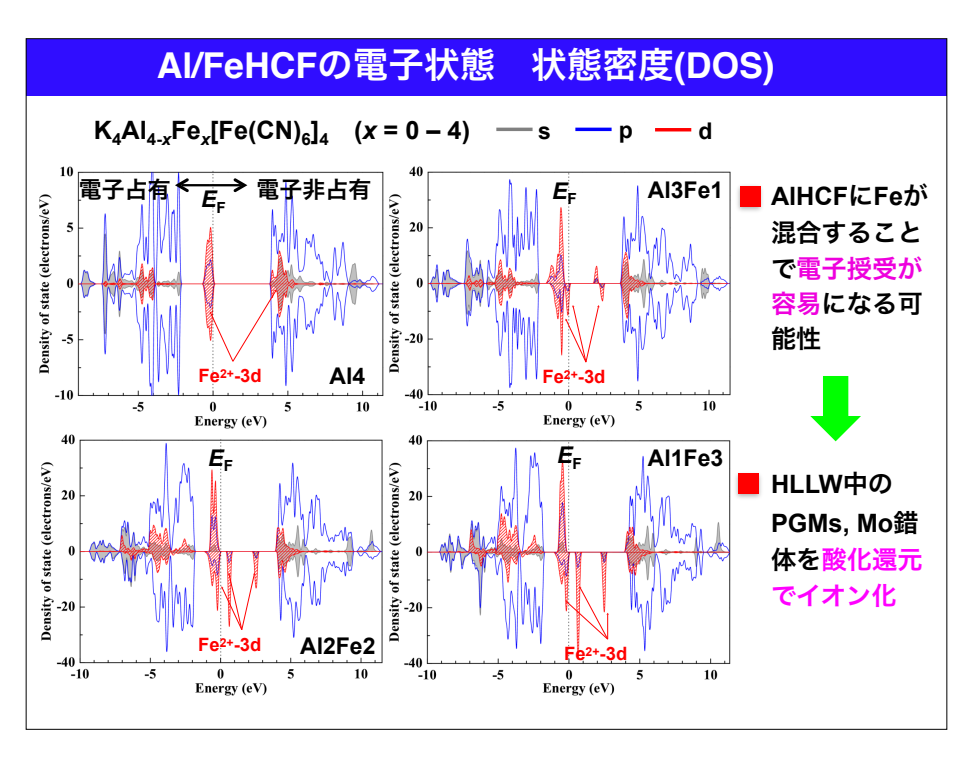


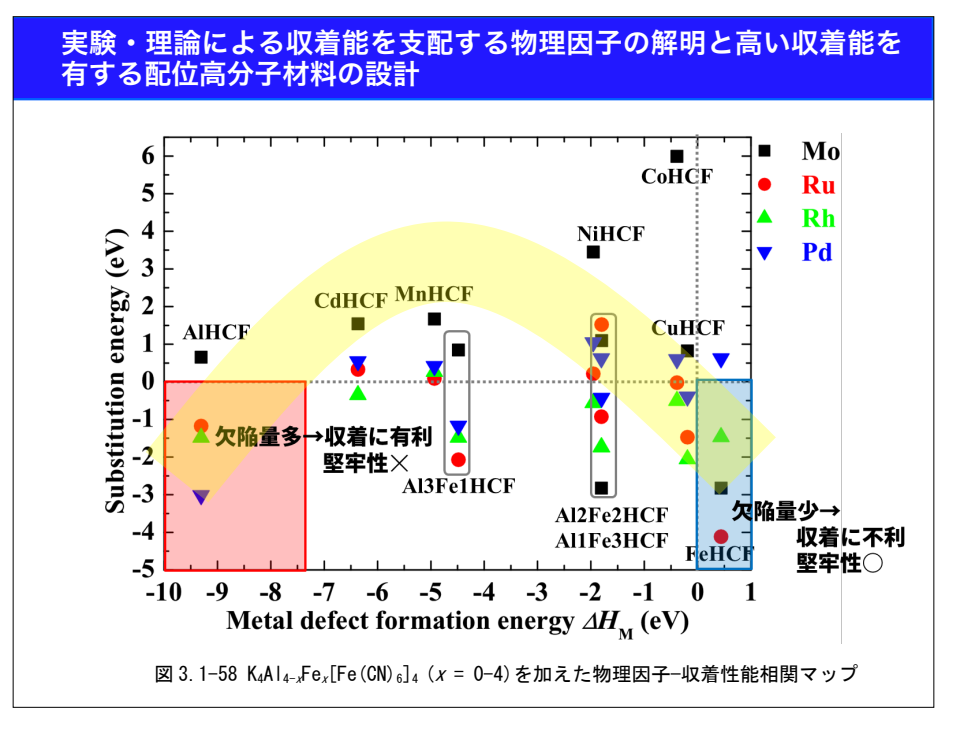
FeHCFへのPGMs, Mo収着率と置換エネルギー相関 収着試験:単金属溶液濃度:10, 20 mM, 収着剤:約20 mg, 硝酸濃度:1.5 mol/L 振とう:室温で96 h. 180 rpm(往復), 液相の元素分析: ICP-OES 40 ■ 金属濃度 10 mM 最安定置換エネルギーとなる 35 ● 金属濃度 25 mM 組み合わせをプロット Pd2+→Fe2+ 30 Sorption ratio (%) FRu⁴⁺→Fe³⁺ 20 Ni²⁺→Fe²⁺ Co3+→Fe2+ Zr4+→Fe3+ Mn³+→Fe³+ Mo6+→Fe3+ Gd³⁺→Fe³⁺ -2 -3 -1 Substitution energy (eV) Y3+→Fe3+ Pdを除けば金属種に依存せず良い線形関係

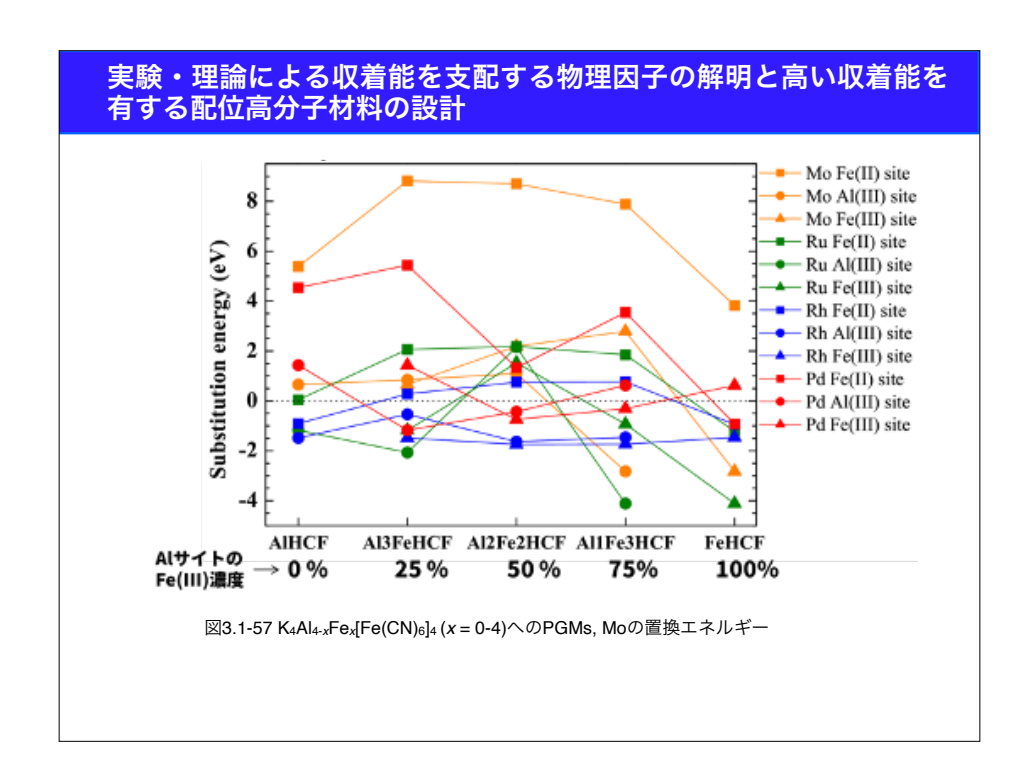


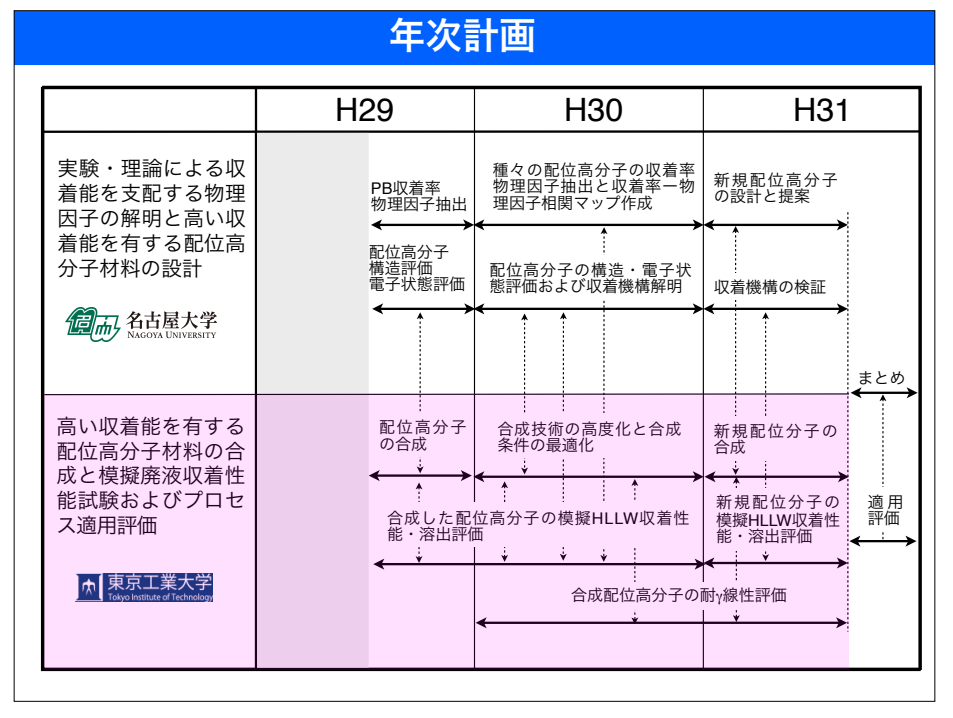












高い収着能を有する配位高分子材料の合成と模擬廃液収着性能試験 およびプロセス適用評価

(AI, Fe)HCFハイブリッド材料の合成

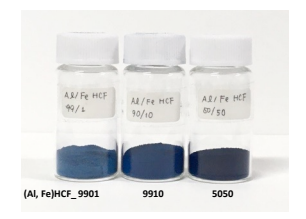


図3.2-11 合成した(AI, Fe)HCFハイブリッド材料の写真

表 3.2-2 (AI, Fe) HCF ハイブリッド材料内の AI, Fe, K のモル比率 [mol]

試料	Al	Fe	K	x	у
(Al, Fe)HCF_100	4	3.22	0.41	1	0.03
(AlHCF#18_75)					
(Al, Fe)HCF_9901	4	3.24	0.38	1	0.03
(Al, Fe)HCF_9010	4	4.64	0.69	1	0.23
(Al, Fe)HCF_5050	4	32.6	4.17	1	4.22

*試料名末尾の数値は、原料である硝酸アルミニウム[Al(NO₃)₃]と硝酸鉄[Fe(NO₃)₃]のモル比を表す。[100; Al(NO₃)₃: Fe(NO₃)₃ = 100: 0, 9901; Al(NO₃)₃: Fe(NO₃)₃ = 99: 1, 9010; Al(NO₃)₃: Fe(NO₃)₃ = 90: 10, 5050; Al(NO₃)₃: Fe(NO₃)₃ = 50: 50]

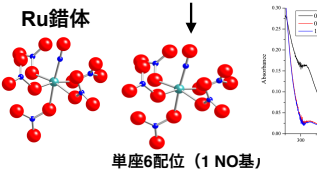
高い収着能を有する配位高分子材料の合成と模擬廃液収着性能試験 およびプロセス適用評価

表 3.2-6 種々のフェロシアン化物を用いた単一金属イオン溶液に対する収着試験結果

【収着試験条件】収着剤:20 mg、溶液:10 mL、室温、96時間振盪

収着率[%]

吸着剤	試験に用いた 単金属溶液中の 金属濃度[mM]	Mn	Со	Ni	Sr	Y	Zr	Мо	Ru (nitrosyl)	Ru (nitrate)	Rh	Pd	Cs	(Am) Gd
AULCE	10mM	2	66	52	0	1	7	9	75	94	1	60	2	-1
AIHCF	25mM	1	25	18		1	7	10	81	73	0	34	4	1
FeHCF	10mM	2	15	15	0	0	3	11	24	36	5	37	10	0
гепсг	25mM	0	6	6		1	1	6	10	18	4	21	5	1
CdHCF	10mM	15	48	60	0	-1	9	2	62	93	1	33	77	0
Синсь	25mM	7	27	26		0	3	0	77	60	1	21	39	-1
MnHCF	10mM	-41	73	54	0	1	29	6	74	94	-2	55	79	1
мписг	25mM	-1	29	19		1	15	1	83	87	-1	18	42	1
CuHCF	10mM	1	5	5	0	0	0.8	1	14	9	3	67	36	0
NiHCF	10mM	0	30	2	0	0	0.7	0	23	24	5	31	17	0
CoHCF	10mM	1	-3	9	0	-2	1.7	0	16	9	4	19	0	1





単一系と多成分系では、収着挙動が違う。

80% 60% 40% 20%

■ AIHCFの多成分系における収着では、Pd等の白金族元素の収着によって、AIHCFの構造が変化し(Pd等の置換による収着)、Moに対する収着性能が向上している可能性が考えられる。

高い収着能を有する配位高分子材料の合成と模擬廃液収着性能試験 およびプロセス適用評価

表 3.2-5 (AI, Fe) HCF ハイブリッド材料を用いた収着試験結果

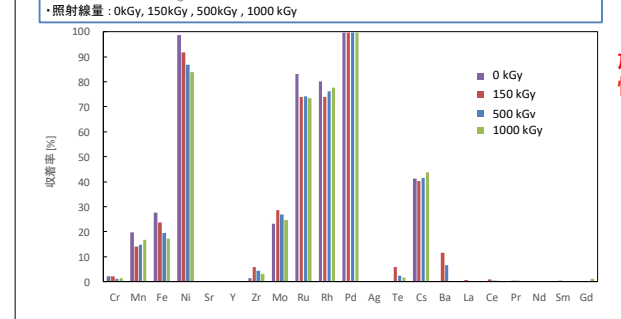
=- h vissi	乾燥	Pd	Ru	Rh	Cs	Fe	Мо	Gd			
試料 	温度		吸着率[%]								
AlHCF#18_75	75	100	82	19	32	15	47	0			
AlHCF#19_FD	FD	99	27	6	44	-151	48	0			
(Al, Fe)HCF_9901	75	100	80	18	30	15	49	0			
(Al, Fe)HCF_9901	75	100	73	15	31	15	41	0			
(Al, Fe)HCF_9901	75	100	20	3	39	-28	21	0			

(AIHCF#18_75) の収着性能が高いことが明らかとなった。この最も性能の良い(AI,Fe)HCF は、 名古屋大学の構造解析の結果から FeHCF 成分を約 15%程度含有しており、収着材料として、 AI/Fe 比が最適であったと考えられる。

高い収着能を有する配位高分子材料の合成と模擬廃液収着性能試験 およびプロセス適用評価

・21 成分 sHLLW: Cr, Mn, Fe, Ni, Sr, Y, Zr, Mo, Ru, Rh, Pd, Ag, Te, Cs, Ba, La, Ce, Pr, Nd, Sm, Gd ・温度: 50°C ・24時間振盪・固液比: 80 mg/2 mL

・定量方法:ICP-MS ←AgはMSでは測定していない



放射線照射によるAIHCF吸着 性能への影響はほとんどない

図 3.2-24 γ線照射後 21 成分模擬 HLLW に対する収着試験結果

表 3.2-7 γ線照射後 Ru 溶液に対する収着試験結果

硝酸ルテニウム

110077 - 724								
270+= [LC.1	収着	率[%]						
照射量 [kGy]	室温	50℃						
0	93	94						
150	88	92						
500	72	86						

ニトロシル硝酸ルテニウム

照射量 [kGy]	収着率[%]				
	室温	50℃			
0	13	82			
150	10	74			
500	5	58			

高い収着能を有する配位高分子材料の合成と模擬廃液収着性能試験 およびプロセス適用評価

表 3.2-8 γ線照射後 AIHCF を用いた 7成分模擬 HLLW に対する収着試験結果

照射量	AIHCF試料 乾燥温度	Pd 吸着率	Ru 吸着率	Rh 吸着率	Cs 吸着率	Fe 吸着率	Mo 吸着率	Gd 吸着率
	+6/末/Ⅲ/文	[%]	[%]	[%]	[%]	[%]	[%]	[%]
0	75	100	51	13	39	3	53	0
	25	100	36	7	52	-94	57	1
	FD	100	35	6	50	-59	54	0
150 kGy	75	100	60	13	38	0	48	1
	25	100	57	14	48	-77	58	1
	FD	100	68	15	44	-34	55	1
500 kGy	75	100	50	10	40	-10	49	1
	25	100	48	7	43	-71	56	1
	FD	100	61	12	45	-45	55	1

γ線非照射の 25℃乾燥と凍結乾燥試料において、Ru と Rh の収着率が低い値を示したが、それ以外の結果では、いずれの試料においても、γ線照射による収着率の大きな変化は見られなかった。よって、AIHCF は、γ線に対する耐性が比較的高いことが明らかとなった。

また、 γ 線照射前と γ 線照射後 (500 kGy) の AIHCF の XRD 測定を行った。その結果を図 3.2-25 に示す。 γ 線照射前後において、XRD パターンの大きな変化は見られなかった。

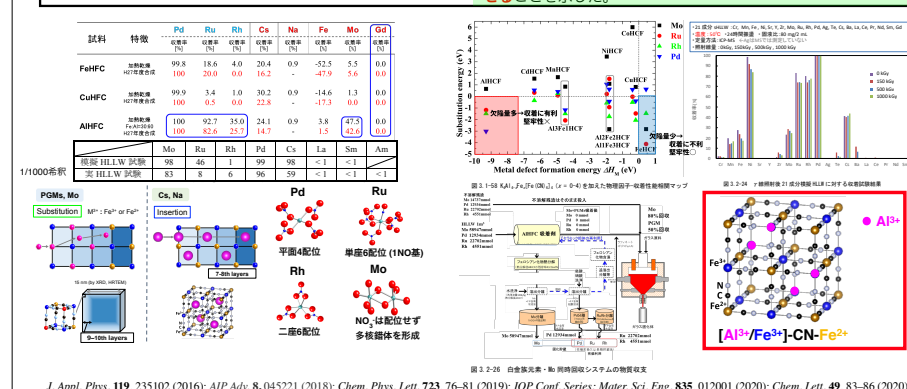
启 A古屋大学 NAGOYA UNIVERSITY 東京工業大学

研究成果のまとめ

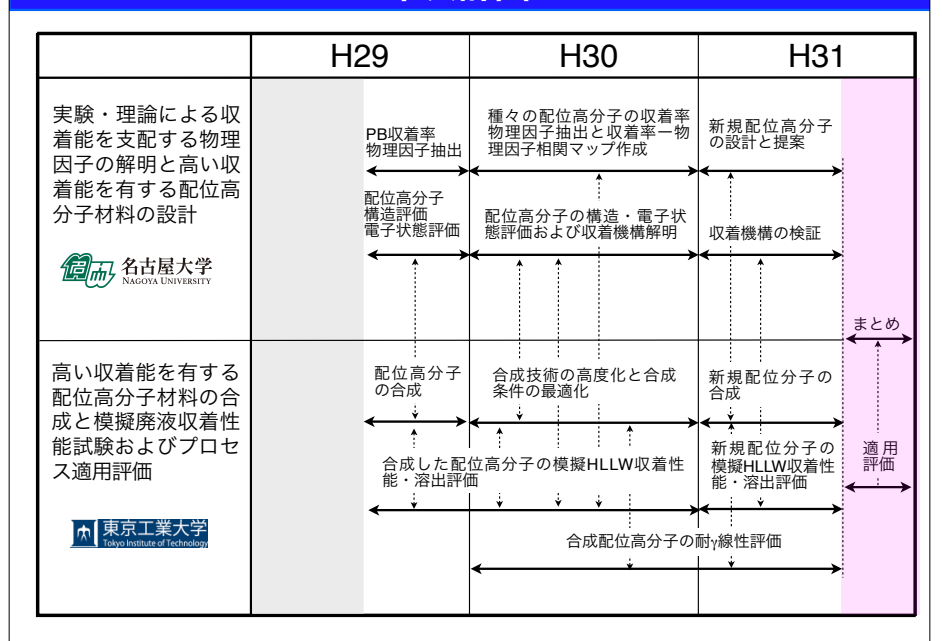
🍰 x 極利学賞 ====__ 原子力システム研究開発(H26 - H28) + 戦略的原子力共同研究(H29 - H31)

(1)種々のシアノ基架橋型配位高分子ナノ粒子を合成し、 模擬HLLWに対する収着試験を行ったところ、AI-CN-Feが Mo・白金族元素に対する収着性能・選択性が最も高く、 Mo・白金族元素の同時回収に適していることを見出した。

- (2) Ru, Rh, PdおよびMoイオンはFe²+またはAl³+との置換型収着, Csイオンは内包型収着であることを明らかにした。
- (3) 実高レベル廃液の収着試験の結果、模擬廃液と同様に、PGMs/Moに対して高い収着性能を有するだけでなく、長寿命核種Amを収着しない選択性も有することを示した。
- (4) 置換エネルギーと金属欠陥生成エンタルビーが収着率と良い線形相関関係を示すことを見出し、収着率の相関マップ と理論計算から、A((III)-CN-Fe(II)-Fe(III)-CN-Fe(II)のハイブ リッド材料[A(III)/Fe(III)]-CN-Fe(II)が高い収着性能を有することを予測し、PGMs及びMoに対して高い収着性能を有することを実証した。
- (5) **収着性能に対するγ線照射による影響は無い**ことを確認した。**耐硝酸性・耐熱性も有する**ことも確認した。
- (6) ガラス固化体のプロセス評価を行った結果、現行プロセスで発生する**ガラス固化体の本数を3分の1程度まで減らせる**ことを示した。



年次計画



成果のまとめ(その1)

- (1) 収着材料として用いた配位高分子であるHCFは、一次粒径10-20 nm程度のナノ粒子であり、内部に約0.5 nmの空隙を有する面心立方構造であることが分かった。これらのHCFに対して、PGMs、Moイオンは骨格を成す金属イオンと置換および格子内に存在する金属欠陥サイトを占有することにより骨格内部に取り込まれる置換型収着であることが分かった。
- (2) HCFに対するPGMs, Moの置換エネルギーを縦軸に、金属HCFの金属欠陥生成エンタルピーを横軸に取り、相関マップを作成した。この相関マップは、負の二次曲線分布を示した。得られた相関マップおよび理論計算から、AIHCFとFeHCFのハイブリッド材料は、置換サイトとなる骨格内金属の欠陥量と材料としての脆化性とを制御することにより、高い収着性能を有することが予測された。このことから、(AI, Fe)HCFハイブリッド材料を新規配位高分子材料として東京工業大学グループに提案した。
- (3) これに従い、AIHCF合成の際に、反応試薬であるAI(NO3)3およびFe(NO3)3の仕込み比を変えて、ハイブリッド材料の合成を行っが、合成した(AI, Fe)HCFは実験的に意図したAI/Fe 比とはならず、含有成分の多くがFe-CN-Fe成分であることが分かり、現時点で精密な合成が非常に困難であることが分かった。一方で、合成品の収着試験の結果より、AI(NO3)3のみを反応試薬として用いて合成した(AI, Fe)HCFハイブリッド材料の収着性能が高いことが明らかとなった。この最も性能の良い(AI,Fe)HCFはFeHCF成分を約15%程度含有しており、収着材料として、AI/Fe比が最適であったと言える。また、理論計算により、Fe量を増やすことで、Mo, Ruに対する収着性能が向上する予測が得られたことから、今後、AI/Fe比を制御することが容易になれば、PGMs, Moの選択的収着も可能になることが示唆された。

成果のまとめ (その2)

- (4)単独金属イオンに対する配位高分子材料の収着試験を行い収着・溶出特性を調べた 結果、多成分系である模擬HLLWを用いた収着試験とは収着挙動が異なることが明らかと なった。
- (5) 配位高分子の収着特性に対するγ線の影響評価においては、γ線照射は配位高分子の 収着特性や構造に大きな影響を与えないことが明らかとなった。
- (6) さらに、合成したAIHCFに対する模擬HLLW(21成分)試験の結果から、AIHCFを使ったバッチ収着プロセスを想定して実高レベル廃液の収着挙動を推定した。それらの試験結果から、PGMs, Mo同時収着システムの物質収支を計算し、ガラス固化体の発生本数をこれまでの半分以下に低減できる見通しを得た。

(7) その他

○誌上発表

IOP Conf. Series: Mater. Sci. Eng. **835**, 012001 (2020) Chem. Lett. **49**, 83–86 (2019) Chem. Phys. Lett. **723**, 76–81 (2019) AIP Adv. **8**, 045221 (2018) 現去3載抄籍推構由

□ 国際会議 4件(招待講演: 2)□ 国内会議 2 2件(招待講演: 5)

ご清聴ありがとうございました。